

- 10 Zhang H, Liu H, Davies KJ, et al. Nrf2 - regulated phase II enzymes are induced by chronic ambient nanoparticle exposure in young mice with age - related impairments [J]. Free Radic Biol Med, 2012, 52 (9) : 2038 - 2046
- 11 Kim HJ, Zheng M, Kim SK, et al. CO/HO - 1 induces NQO - 1 expression via Nrf2 activation [J]. Immune Netw, 2011, 11(6) : 376 - 382
- 12 Rubiolo JA, Mithieux G, Vega FV. Resveratrol protects primary rat hepatocytes against oxidative stress damage: activation of the Nrf2 transcription factor and augmented activities of antioxidant enzymes [J]. Eur J Pharmacol, 2008, 591(1 - 3) : 66 - 72
- 13 Barbier O, Arreola - Mendoza L, Del Razo LM. Molecular mechanisms of fluoride toxicity [J]. Chem Biol Interact, 2010, 188 (2) : 319 - 333
- 14 Ma Q, Kinneer K, Bi Y, et al. Induction of murine NAD(P)H:quinone oxidoreductase by 2,3,7,8 - tetrachlorodibenzo - p - dioxin requires the CNC (cap 'n' collar) basic leucine zipper transcription factor Nrf2 (nuclear factor erythroid 2 - related factor 2): cross - interaction between AhR (aryl hydrocarbon receptor) and Nrf2 signal transduction [J]. Biochem J, 2004, 377 (Pt 1) : 205 - 213
- 15 Glenn MB, Lexell J. Ginseng [J]. J Head Trauma Rehabil, 2003, 18 (2) : 196 - 200
- 16 Sun Q, Meng QT, Jiang Y, et al. Ginsenoside Rb1 attenuates intestinal ischemia reperfusion induced renal injury by activating Nrf2/ARE pathway [J]. Molecules, 2012, 17(6) : 7195 - 7205

(收稿日期:2013-10-19)

(修回日期:2013-12-10)

3 - 甲基腺嘌呤诱发 HeLa 细胞自噬及抑制辐照细胞自噬的双重作用

杨艳丽 刘玲 王豫 刘晓丹 周平坤

摘要 目的 了解 PI₃K 抑制剂 3 - 甲基腺嘌呤 (3 - MA) 对电离辐射后细胞自噬的影响, 初步探讨作用机制。方法 细胞增殖 - 毒性试剂盒 CCK - 8 检测不同浓度 3 - MA 处理及 ⁶⁰Co γ 射线 4Gy 照射或联合 3 - MA 作用的 HeLa 细胞细胞生长变化和毒性, Annexin V - FITC/PI 双标记检测细胞凋亡, Western blot 检测自噬相关蛋白 SQSTM1/p62 表达, Lipofectamine 2000 介导转染 GFP - LC3 质粒, 共聚焦显微镜检测自噬体形成。结果 3mmol/L 以上浓度 3 - MA 作用 24h 对 HeLa 细胞增殖有明显的抑制作用, 作用更长时间产生致死毒性效应。无论是 5mmol/L 3 - MA 单独作用还是单独 4Gy 照射, 均能诱发 HeLa 细胞自噬。但 3 - MA 与(射线辐照联合作用时, HeLa 细胞自噬受到抑制, 细胞凋亡显著增加。结论 PI₃K 抑制剂 3 - MA 既诱发细胞自噬又能抑制电离辐射诱发细胞自噬, 在不同的条件下两种方式影响细胞存活。

关键词 3 - 甲基腺嘌呤 细胞自噬 细胞凋亡 细胞存活

[中图分类号] R393

[文献标识码] A

Dual Effects of 3 - Methyladenine on HeLa Cells Autophagy: Induction by the Action Alone and Inhibition on Autophagy Induced by Ionizing Radiation. Yang Yanli, Liu Ling, Wang Yu, et al. University of South China, Hunan 421001, China

Abstract Objective To investigate the cell survival effect of phosphoinositide 3 - kinase (PI₃K) inhibitors 3 - Methyladenine (3 - MA) in response to ionizing radiation (IR) and the possible mechanism. **Methods** Firstly, HeLa cells were treated with 3 - MA in different concentration, cell counting Kit - 8 (CCK - 8) assay were used to detecte the viability rate, Afterwards, HeLa cells were either treated with 5mmol/L 3 - MA or not treated, then irradiated with ⁶⁰Co γ - ray, cultivated for a certern time, cell counting kit - 8 (CCK - 8) assay and annexin V - FITC/PI double staining were used respectively to detecte the viability rate and observe apoptosis rate in order to make a clear understanding about the cell proliferation toxic - effect of 3 - MA and IR. The GFP - LC3 puncta were examined under a confocal microscope after transfet GFP - LC3 by lipofectamin 2000. Western blot was performed to explore the expressions of autophagy - related proteins SQSTM1/p62. **Results** The proliferation inhibition and cytotoxicity of 3 - MA were demonstrated after the treatment for more than 24h at the concentration 3mmol/L and higher. 5mmol/L 3 - MA action alone can induce HeLa cells autophagy. However, 5mmol/L 3 - MA can inhibit the 4Gy γ - ray - induced HeLa cell autophagy, and promote the apoptosis. **Conclusion** The cell survival

基金项目:国家自然科学基金资助项目(31370843)

作者单位:421001 衡阳,南华大学公共卫生学院环境医学与放射卫生研究所(杨艳丽);100850 北京,军事医学科学院放射与辐射医学研究所(杨艳丽、刘玲、王豫、刘晓丹、周平坤)

通讯作者:周平坤,电子信箱: zhoupk@bmi.ac.cn

rate was impacted in two ways, that were by inhibiting and inducing autophagy respectively after prolonged treated with the PI₃K inhibitors 3 - MA.

Key words 3 - Methyladenine; Autophagy; Apoptosis; Cell survival

自噬是指细胞将一些聚集或错误折叠蛋白、损伤的细胞器等胞质成分通过包裹并最终运送至溶酶体降解的过程,可促进细胞代谢的原料的循环再利用^[1]。目前认为,自噬的主要功能之一是真核细胞在营养缺乏、生长因子撤除、能量匮乏或受到应激性的死亡威胁时,使细胞获得对抗不利的生长环境、维持稳态、实现更新的一种重要的自我保护性反应机制^[2]。但是,当细胞受到严重的不可修复的损伤,如大剂量的电离辐射辐照、某些化疗药物的作用,自噬就会转变成为细胞的一种死亡机制。正是由于自噬在决定细胞命运中具有双面性,有关其调控机制的研究受到极大关注。

生长因子刺激信号通过激活磷脂酰肌醇 3 - 激酶(phosphatidylinositol 3 - kinase, PI₃K)/Akt/mTOR 信号途径抑制自噬,而Ⅲ型磷脂酰肌醇 3 - 激酶复合物(PI₃KC3/Vps34)是启动细胞自噬的一个关键调控复合体,PI₃KC3/Vps34被激活后会产生磷脂酰肌醇 3 - 磷酸(phosphatidylinositol 3 - phosphate, PIP),PIP 则促进其他自噬相关蛋白家族成员(autophagy related protein family, Atg)的募集,启动自噬过程^[3,4]。3 - 甲基腺嘌呤(3 - methyladenine, 3 - MA)是一种磷脂酰肌醇 3 激酶抑制剂,因其能抑制参与自噬调节的Ⅲ型 PI₃K 的活性,而被广泛用于自噬研究^[6]。笔者前期的实验也证实,3 - MA 可以抑制饥饿诱导的细胞自噬,并增加细胞的放射敏感度。本研究发现,3 - MA 单独作用也能诱导细胞自噬和促进细胞凋亡。因此,进一步对 3 - MA 在辐射诱导的细胞自噬及凋亡中的作用进行探讨,将为今后 3 - MA 合理使用以及放射诱发自噬机制的阐述提供新的依据。

材料与方法

1. 细胞培养和试剂:人子宫颈癌细胞 HeLa 为本实验室留存。细胞在含 10% 胎牛血清(Hyclone 公司)的 DMEM(Hyclone 公司)中,37℃ 5% CO₂、饱和湿度的培养箱中培养。3 - 甲基腺嘌呤(3 - MA)购自 Sigma 公司。

2. 细胞照射:利用军事医学科学院放射与辐射医学研究所的⁶⁰Co 放射源 γ 射线照射,照射剂量率为 128.81 cGy/min。

3. CCK - 8 细胞增殖毒性检测试验分析细胞存活:将预定数量细胞接种于 A、B 两个 96 孔板中,A 板 4Gy γ 射线照射,B 板不照射。照射组和不照射组分别又分为加 3 - MA 组和不加 3 - MA 组,细胞置于 37℃,5% CO₂ 培养箱内培养,分别于

不同时间吸干培养液(每个时间设 3~5 个复孔),加入含 10 μl CCK - 8 (DojinDO 公司)的新鲜培养液 100 μl,孵育 1h 后,450nm 波长测量吸光值(OD 值),根据 OD 值计算细胞存活率。细胞存活率(%) = (实验组 OD 值 - 空白孔 OD 值)/(对照组 OD 值 - 空白 OD 值) × 100%。其中实验组为照射和(或)3 - MA 处理细胞组,对照组为未经任何处理的细胞组,空白组为单纯培养基加上 CCK - 8 试剂。

4. Annexin V - FITC/PI 双标记检测细胞凋亡:将细胞分为照射和不照射两组,每组又分为照射前 3h 加 3 - MA 和不加 3 - MA 两个亚组,分别 4Gy 照射后 0、6、24、30、48、72h 后,用 0.25% 胰酶消化,并用预冷的 PBS 洗涤细胞 2 次;以 1 × 10⁶/ml 的密度重悬细胞于 500 μl 缓冲液(含 Ca²⁺)中;分别加入 5 μl annexin V - FITC 和 5 μl 碘化丙啶(propidium iodide, PI),轻轻混匀,室温避光孵育 15min,用流式细胞仪检测细胞凋亡。进行 3 次重复实验取平均值。

6. Western blot 法检测蛋白表达:用 PBS 洗涤各组细胞 2 次后,使用 M - PER 蛋白裂解液冰上裂解蛋白 30min,12000 × g 离心 15min,收集上清液。采用二喹啉甲酸法(BCA 法)测定蛋白浓度后,将蛋白与 6 × 上样缓冲液混匀,100℃ 煮沸 5min,蛋白上样量为 20 μg,行 8% SDS - PAGE 分离蛋白,将蛋白转印至硝酸纤维素膜上,用 5% 脱脂牛奶于室温下封闭 1h;分别加入一抗 SQSTM1/p62、GAPDH(Santa Cruz 公司),4℃ 培育过夜后,TBST 清洗 3 次;加入辣根过氧化物酶标记的二抗(北京中杉金桥公司)室温摇晃孵育 1h 后,TBST 清洗 3 次,显影。

7. GFP - LC3 转染及免疫荧光分析:采用 Lipofectamine 2000(Invitrogen 公司)转染带荧光标记 GFP 的自噬标记蛋白轻链 3(GFP - LC3)的质粒于 HeLa 细胞;转染后 24h 4Gy γ 射线照射,不同时间点收集细胞,4% 多聚甲醛固定并置于 4℃ 冰箱。将固定好的细胞 PBS 洗 3 次,每次 5min。用终浓度 0.3% Triton X - 100 透膜处理 15min,PBS 洗 3 次每次 5min,最后用 DAPI 染色细胞核 20min,再用 PBS 洗 3 次每次 5min,封片。荧光显微镜观察自噬体的形成,计数自噬体数量,实验重复 3 次。

8. 统计学方法:所有数据均利用 SPSS 13.0 统计学软件进行,多样本间比较采用方差分析,组间两两比较采用独立样本 t 检验,P < 0.05 为差异有统计学意义。

结 果

1.3 - MA 的细胞增殖毒性及对 γ 放射损伤的影响:由于 5 mmol/L 是文献报道中 3 - MA 较常用的工作浓度,为此笔者设定 3 - MA 作用浓度为 5 mmol/L,将 HeLa 细胞分为 4 组即:⁶⁰Co γ 射线 4Gy 照射组、3 - MA 处理组、照射加 3 - MA 组和实验对照组(Control)。分别于照后 3(细胞贴壁后)、6、9、12、48

和 72 h,用 CCK - 8 试剂检测了不同处理后 HeLa 细胞的增殖和毒性效应(表 1),结果显示各处理组与对照组相比,在 12 h 以内细胞增殖没有明显的影响;3 - MA 作用 24 h 可发现明显的细胞增殖毒性,单独 4Gy 照射组与不做任何处理的对照组相比尚无明显变化;在照射后或 3 - MA 作用 48 h 以上时间,各实验组的

OD 值不但不增加,反而低于 24 h 时间节点值,显示出明显的致死性细胞毒效应,而且 5 mmol/L 3 - MA 处理比 4Gy 照射的致细胞死亡毒性更大;72 h 则显示复合毒性效应,细胞存活率更是下降到正常细胞的 40% 左右。

表 1 4Gy 照射和 3 - MA 单独和复合作用的细胞毒性的时间效应(OD 值, $\bar{x} \pm s$)

时间(h)	处理方式				P
	0	3 - MA	4Gy	4Gy + 3 - MA	
3	1.21 ± 0.03	1.23 ± 0.05	1.21 ± 0.03	1.22 ± 0.06	0.93
6	1.27 ± 0.02	1.27 ± 0.06	1.22 ± 0.06	1.22 ± 0.02	0.10
9	1.29 ± 0.03	1.29 ± 0.12	1.24 ± 0.06	1.29 ± 0.08	0.26
12	1.49 ± 0.03	1.48 ± 0.08	1.44 ± 0.07	1.48 ± 0.04	0.61
24	1.86 ± 0.04	1.63 ± 0.02 ^{a,b}	1.80 ± 0.04	1.73 ± 0.02 ^{a,b}	0.00 ^c
48	1.96 ± 0.09	1.14 ± 0.11 ^{a,b}	1.73 ± 0.09 ^a	1.13 ± 0.05 ^{a,b}	0.00 ^c
72	1.88 ± 0.09	1.00 ± 0.10 ^{a,b}	1.36 ± 0.05 ^a	0.91 ± 0.02 ^{a,b}	0.00 ^c

^a 与相应时间对照组相比,^aP < 0.05;与相应时间的 4Gy 照射组相比,^bP < 0.05;相应时间的各组方差分析,^cP = 0.00

2.3 - MA 促进受照射细胞凋亡:细胞经 4Gy 照射或 5 mmol/L 3 - MA 单独或联合作用后不同时间,Annexin V - FITC/PI 标记流式细胞术检测细胞凋亡(图 1)。与未经过任何处理的对照组相比,加 3 - MA 作用或 4Gy 照射细胞 24 h 以后,凋亡率显著高于对照组。而且,5 mmol/L 3 - MA 的细胞凋亡效应比 4Gy 照射更大,并随作用时间延长而增加,作用 48 h,显示出 3 - MA 与照射的复合效应,说明 3 - MA 大于 48 h 的长时间处理能显著促进受照射细胞的凋亡发生。

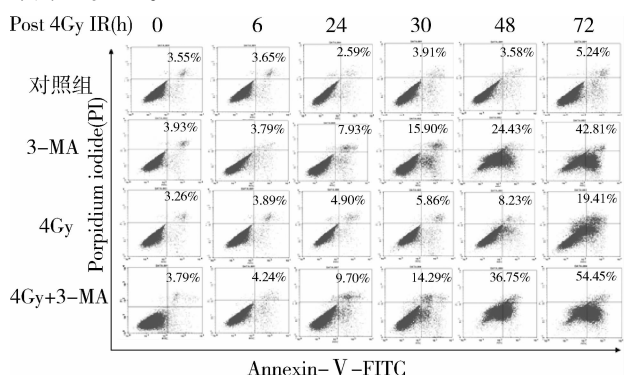


图 1 Annexin V - FITC/PI 标记流式细胞术检测 3 - MA 对 4Gy γ 射线诱发细胞凋亡的影响

3.3 - MA 自身及对 γ 射线诱导自噬的影响:在荧光显微镜下采用 GFP - LC3 融合蛋白来观察自噬体形成,并计数每个细胞质内的自噬体数目。结果显示:5 mmol/L 3 - MA 单独作用的 HeLa 细胞,可观察

到自噬体的形成,并随着时间的延长显著增多(图 2A),作用后 12 h,可以明显观察由 3 - MA 单独诱导的自噬体数目比单独 4Gy 照射更多(图 2B);4Gy 照射 HeLa 细胞,在照后 6 ~ 9 h 自噬体的形成达到最高峰;意外的是,当 γ 射线照射前 3 h 加入 3 - MA 作用时,自噬在各个时间点均处于抑制状态。自噬选择性底物 SQSTM1/p62 蛋白的降解是细胞自噬的标志之一,各组细胞在 4Gy 或 5 mmol/L 3 - MA 单独或联合作用后不同时间点收集细胞,通过 Western blot 检测 SQSTM1/p62 的蛋白量变化。3 - MA 和 4Gy 照射单独处理的 HeLa 细胞,SQSTM1/p62 蛋白量在 3 h 内是表达增加的。随时间延长逐渐减少(图 3)。而细胞在照射前 3 h 加 3 - MA 处理后,SQSTM1/p62 表达基本处于同一水平,说明 3 - MA 与辐射联合作用,抑制了 SQSTM1/p62 蛋白的降解,显示辐射诱导的细胞自噬受到抑制,此结果与图 3 一致。

讨 论

自噬被认为是除 DNA 修复和细胞周期检查点反应以外的细胞免受电离辐射 DNA 损伤致死效应的保护性机制之一^[8, 9]。也有研究报道,自吞噬如同凋亡一样,是电离辐射所致细胞死亡的通路之一^[10]。由此可见,电离辐射作用细胞的自噬机制和生物学后果比较复杂。而在自噬的研究中,3 甲基腺嘌呤因被视为自噬关键调节分子Ⅲ类磷脂酰肌醇 3 - 激酶的抑制剂,而用于包括辐射在内的多种理化因子和环境因素诱发自噬的研究,在运用中普遍采用 5 mmol/L 的

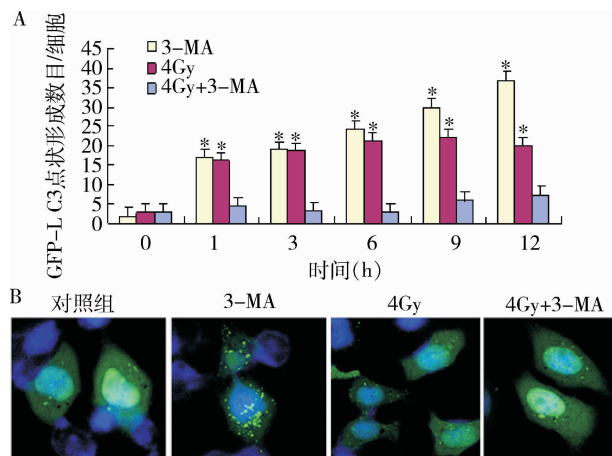


图2 免疫共聚焦检测 5mmol/L 3-MA 处理后，照射及未照射细胞自噬体的形成

A. 免疫荧光检测 HeLa 细胞经 5mmol/L 3-MA 作用(或)4Gy γ 射线照射后不同时间的自噬体形成,* $P < 0.01$; B. 免疫荧光检测 HeLa 细胞经 5mmol/L 3-MA 作用(或)4Gy γ 射线照射后 12h, 计数视野内自噬体形成数量, 每种处理每个时间点重复 3 次, 实验重复 2 次

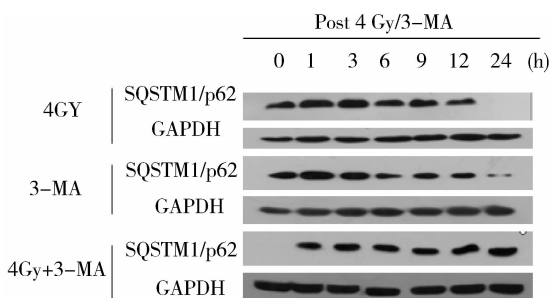


图3 Western blot 检测 5mmol/L 3-MA 处理后，照射及未照射细胞自吞噬蛋白 SQSTM1/p62 表达变化

较高作用浓度。本研究发现, 3-MA 在较高浓度下(如 5mmol/L)长时间作用超过 24h 能显著影响细胞存活率, 并比 4Gy 照射更能促进细胞凋亡, 3-MA 与辐射同时作用超过一定的时间, 则显示出更强的复合毒性。因此 3-MA 抑制自噬作用的时间和剂量特异性还有待进一步明确。本研究显示辐射可以诱导细胞自噬, 但 3-MA 单独作用于细胞也可以促进自噬, 这很可能与 3-MA 持续抑制 I 型 PI₃K 从而促进自噬有关^[11]。实验还发现, 3-MA 与 4Gy 照射联合作用的 24 h 内, HeLa 细胞自噬和自噬底物 SQSTM1/

p62 蛋白的降解得到了有效的抑制, 其机制还有待进一步明确, 可能是 3-MA 诱发自噬后, 使细胞对后来的 4Gy 照射产生了适应性反应, 也可能是辐射后, 3-MA 作为 PI₃K 抑制剂发挥功能, 通过抑制 III 类 PI₃K 抑制了细胞自噬。

对照之前的细胞存活及凋亡结果, 笔者得出结论, 3-MA 能有效抑制辐射诱导的细胞自噬, 也能有效促进正常培养的细胞自噬。长时间作用能促进细胞凋亡, 尤其促进辐射后的细胞凋亡。细胞毒性效应浓度下的 3-MA 诱发自噬和凋亡作用的揭示, 为今后工作中 3-MA 作为自噬抑制剂的合理使用和结果的解释提供了有价值的信息。

参考文献

- Mizushima N. Autophagy: process and function [J]. Genes Development, 2007, 21(22):2861–2873
- Shintani T, Klionsky DJ. Autophagy in health and disease: a double-edged sword [J]. Science, 2004, 306(5698):990–995
- Funderburk SF, Wang QJ, Yue Z. The Beclin 1 – VPS34 complex – at the crossroads of autophagy and beyond [J]. Trends Cell Biol, 2010, 20(6):355–362
- Mah LY, Ryan KM. Autophagy and cancer [J]. Cold Spring Harbor perspectives Biol, 2012, 4(1):a008821
- Kong D, Yamori T. Phosphatidylinositol 3-kinase inhibitors: promising drug candidates for cancer therapy [J]. Cancer Sci, 2008, 99(9):1734–1740
- 李俊英, 杨艳丽, 张赫, 等. 自吞噬促进电离辐射之后细胞的存活 [J]. 辐射防护, 2013, 33(4):193–198, 248
- Qiang L, Wu C, Ming M, et al. Autophagy controls p38 activation to promote cell survival under genotoxic stress [J]. J Biol Chem, 2013, 288(3):1603–1611
- Liang B, Kong D, Liu Y, et al. Autophagy inhibition plays the synergistic killing roles with radiation in the multi-drug resistant SKVCR ovarian cancer cells [J]. Rad Oncol, 2012, 7:213
- Anbalagan S, Pires IM, Blick C, et al. Radiosensitization of renal cell carcinoma in vitro through the induction of autophagy [J]. Radiotherapy Oncol, 2012, 103(3):388–393
- Wu YT, Tan HL, Shui G, et al. Dual role of 3-methyladenine in modulation of autophagy via different temporal patterns of inhibition on class I and III phosphoinositide 3-kinase [J]. J Biol Chem, 2010, 285(14):10850–10861

(收稿日期:2014-01-24)

(修回日期:2014-02-24)